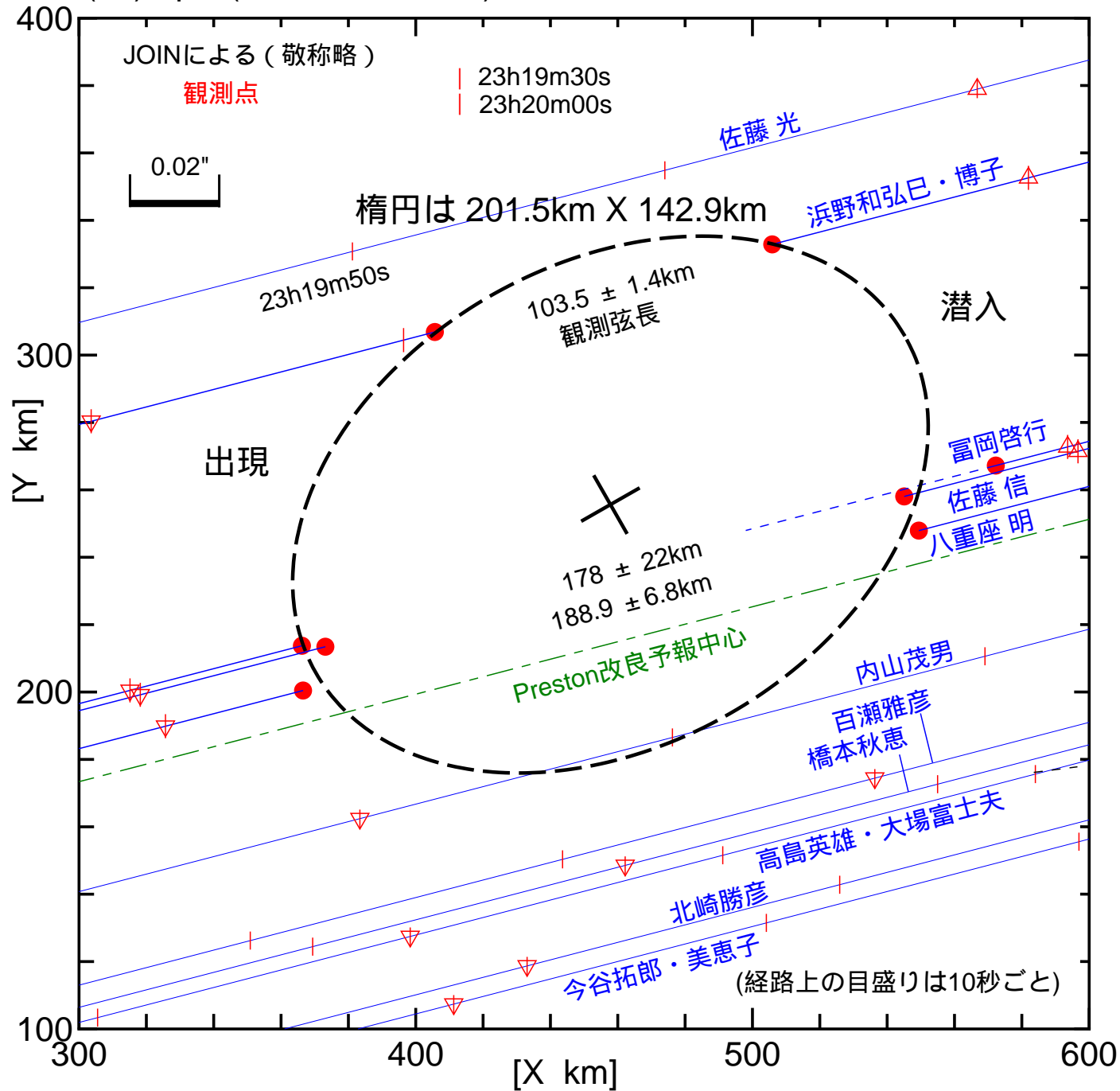


図1 (59) Elpis 2005年1月2日 14h19m44s UT DAMIT Model 6156 ($\lambda = 300$, $\beta = -55$)
 $P = 188^\circ$, $\beta_e = +25^\circ$, $\lambda_e = +2^\circ$, Scale Factor 1: 142.1, $k = 0.991$, $B = 122.0^\circ$

(59)Elpis (2005年1月2日)の食 観測結果

(時刻はJ.S.T)



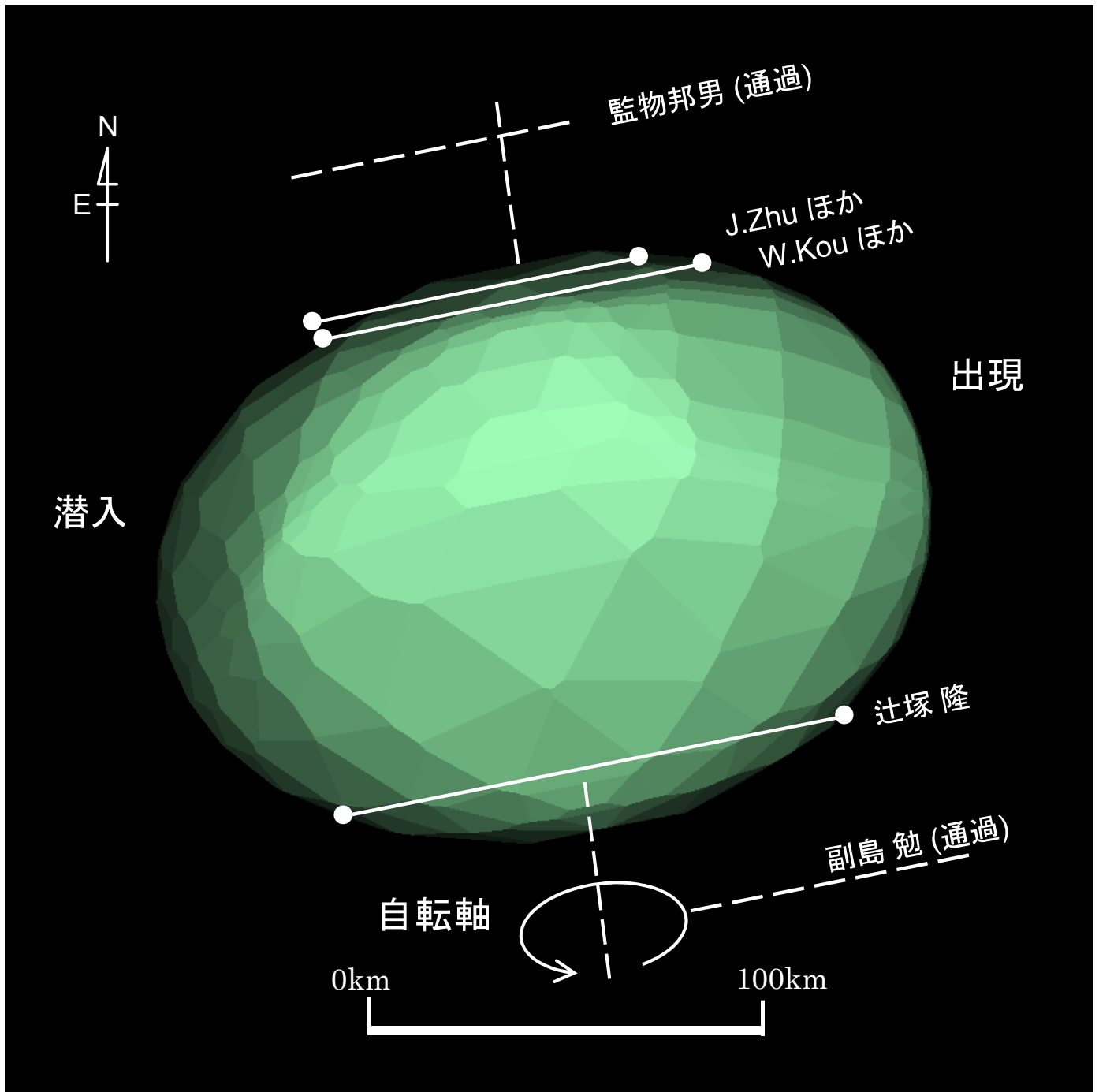
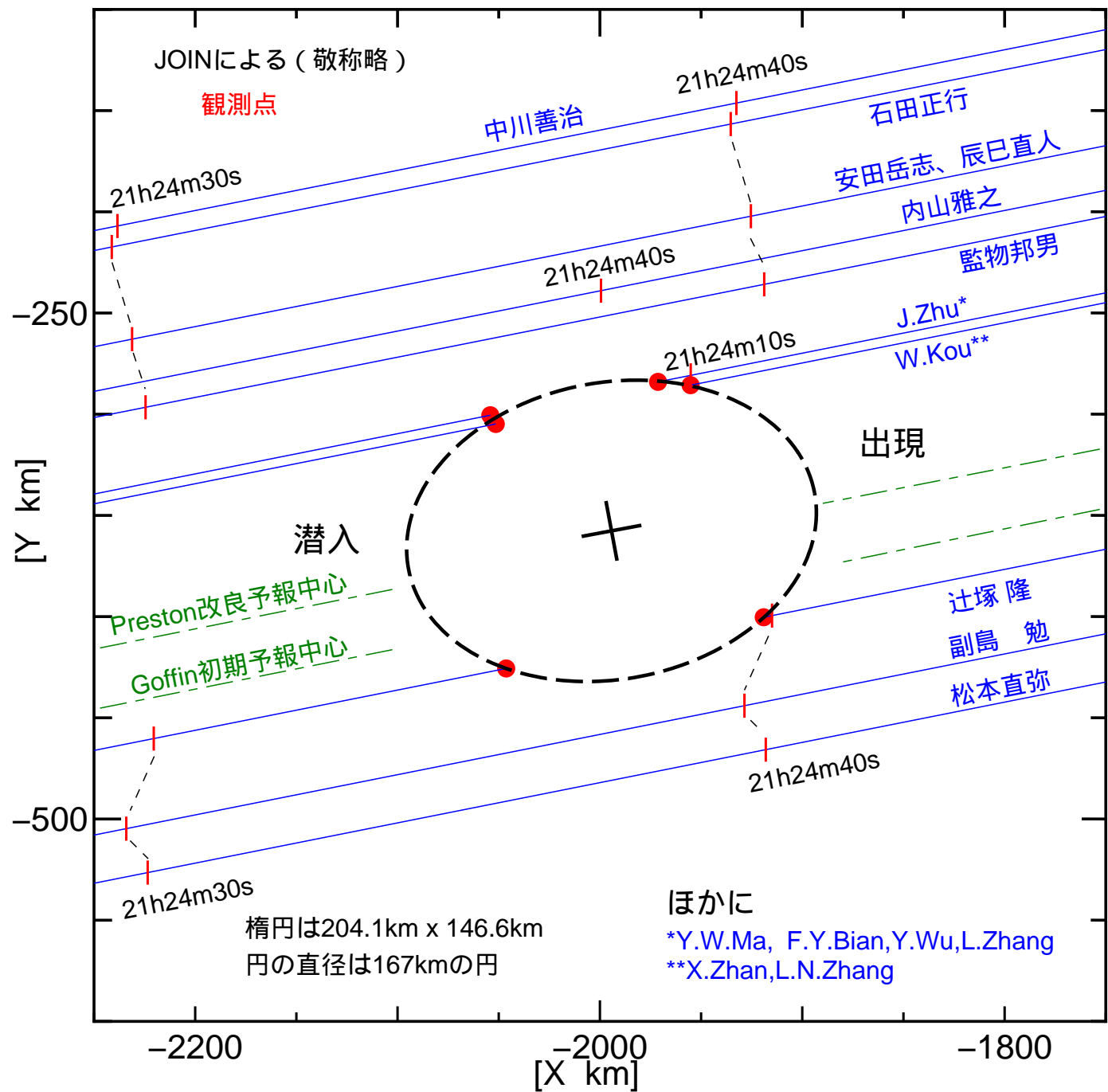


図2 (59) Elpis 2005年6月6日 12h24m18s UT DAMIT Model 6156 ($\lambda = 300$ 、 $\beta = -55$)
 $P = 189^\circ$ 、 $\beta_e = +31^\circ$ 、 $\lambda_e = -36^\circ$ 、Scale Factor 1: 139.1、 $k = 0.977$ 、 $B = 288.3^\circ$

(59)Elpis (2005年6月6日)の食 観測結果

(時刻はJ.S.T)



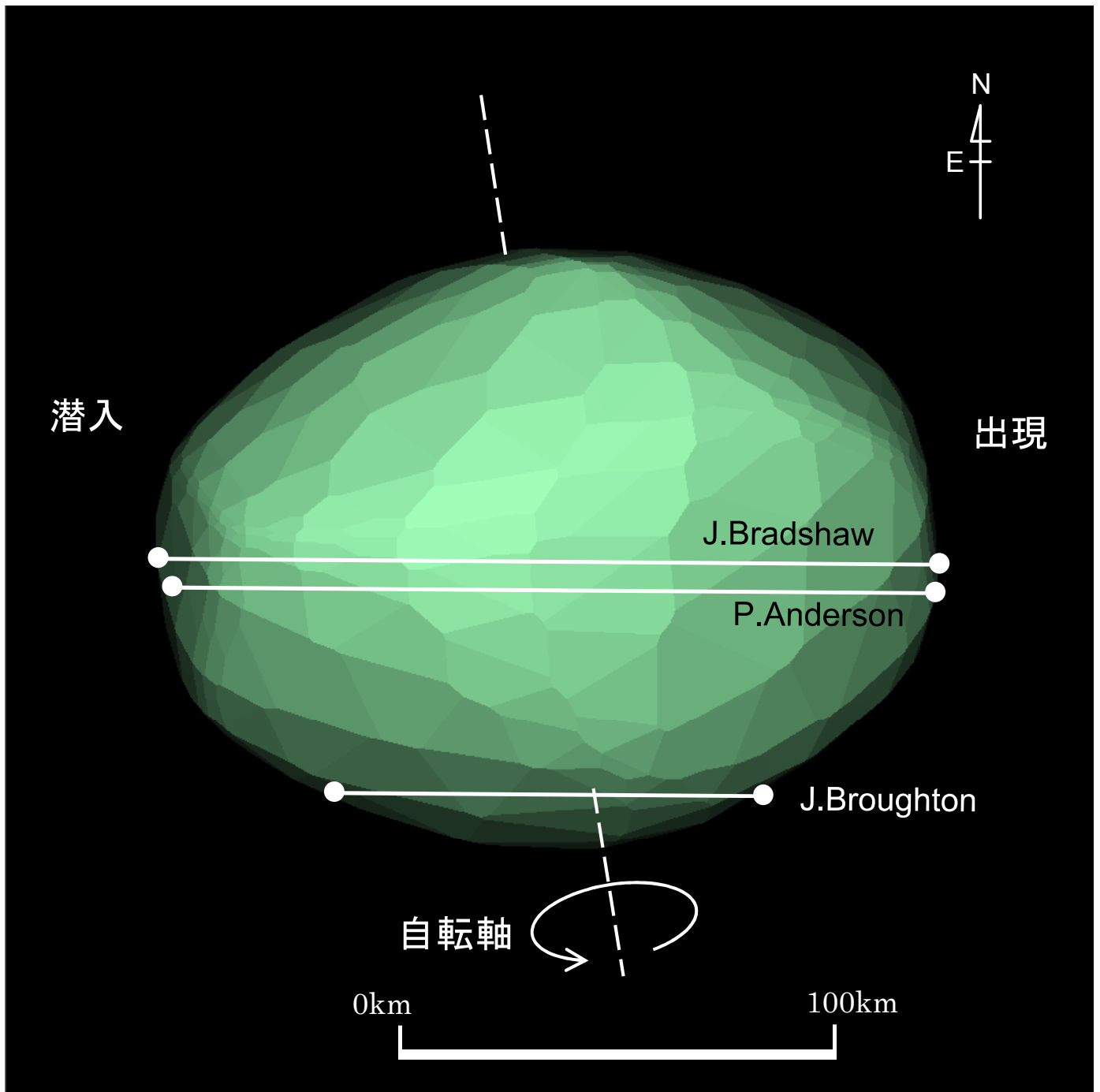


図3 (59) Elpis 2014年4月24日 11h04m12s UT DAMIT Model 6156 ($\lambda = 300$, $\beta = -55$)
 $P = 189^\circ$, $\beta_e = +31^\circ$, $\lambda_e = +83^\circ$, Scale Factor 1: 125.7, $k = 0.969$, $B = 284.5^\circ$

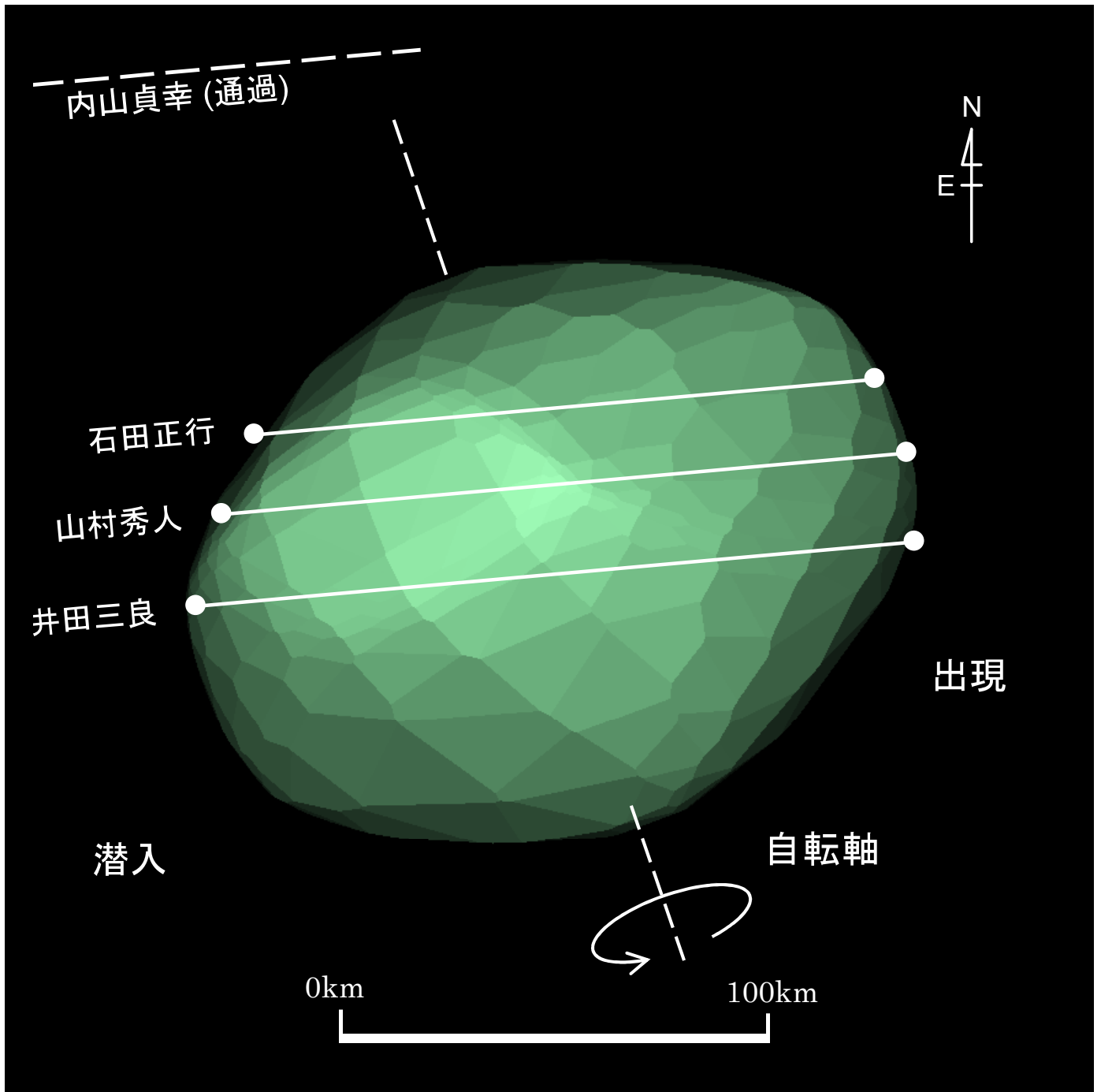
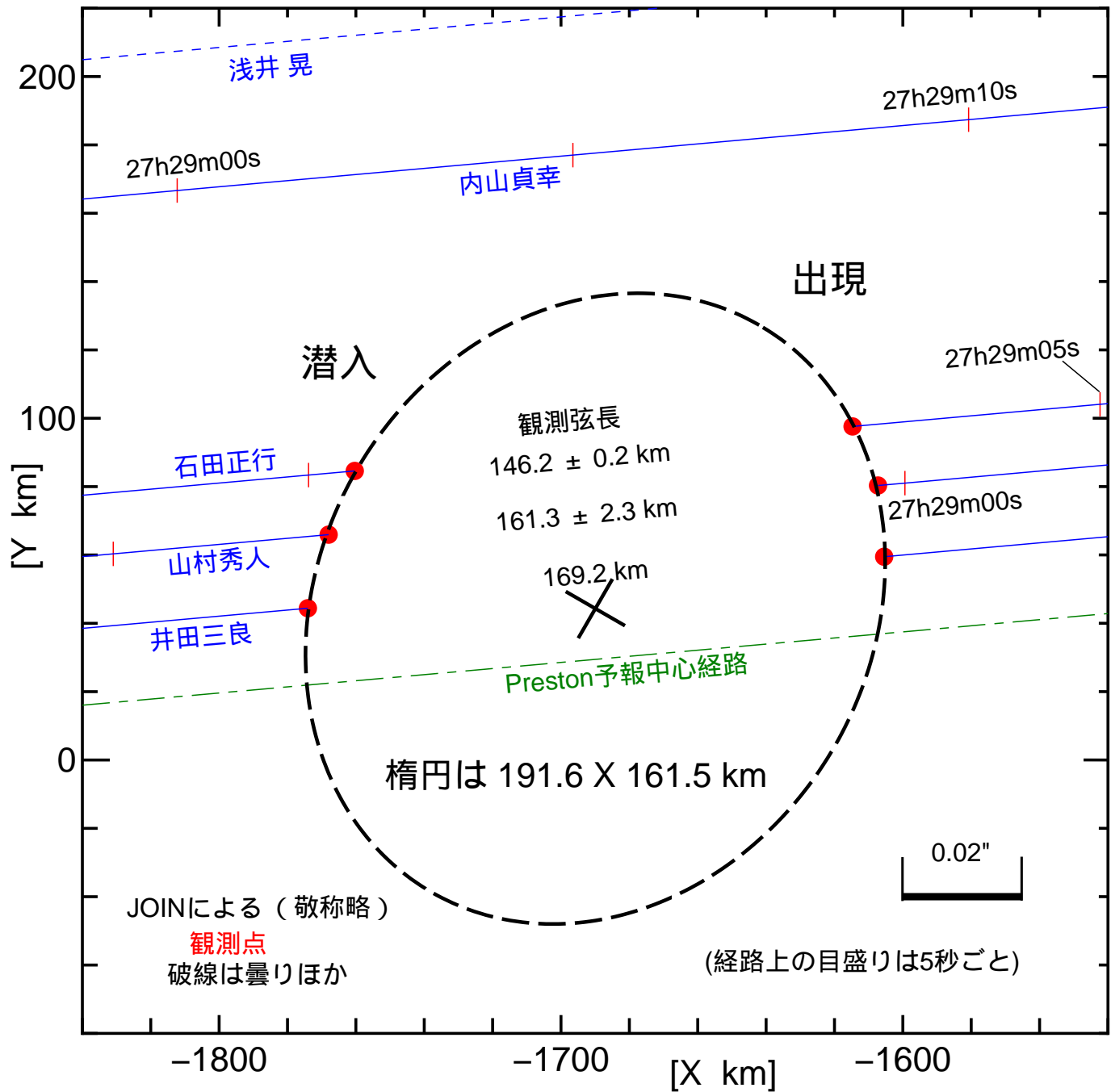


図4 (59) Elpis 2017年8月29日 18h28m57s UT DAMIT Model 6156 ($\lambda = 300$ 、 $\beta = -55$)
 $P = 199^\circ$ 、 $\beta_e = +18^\circ$ 、 $\lambda_e = +27^\circ$ 、Scale Factor 1: 127.9、 $k = 0.956$ 、 $B = 83.5^\circ$

(59) Elpis (2017年8月29日) の食 観測結果

(時刻はJ.S.T)



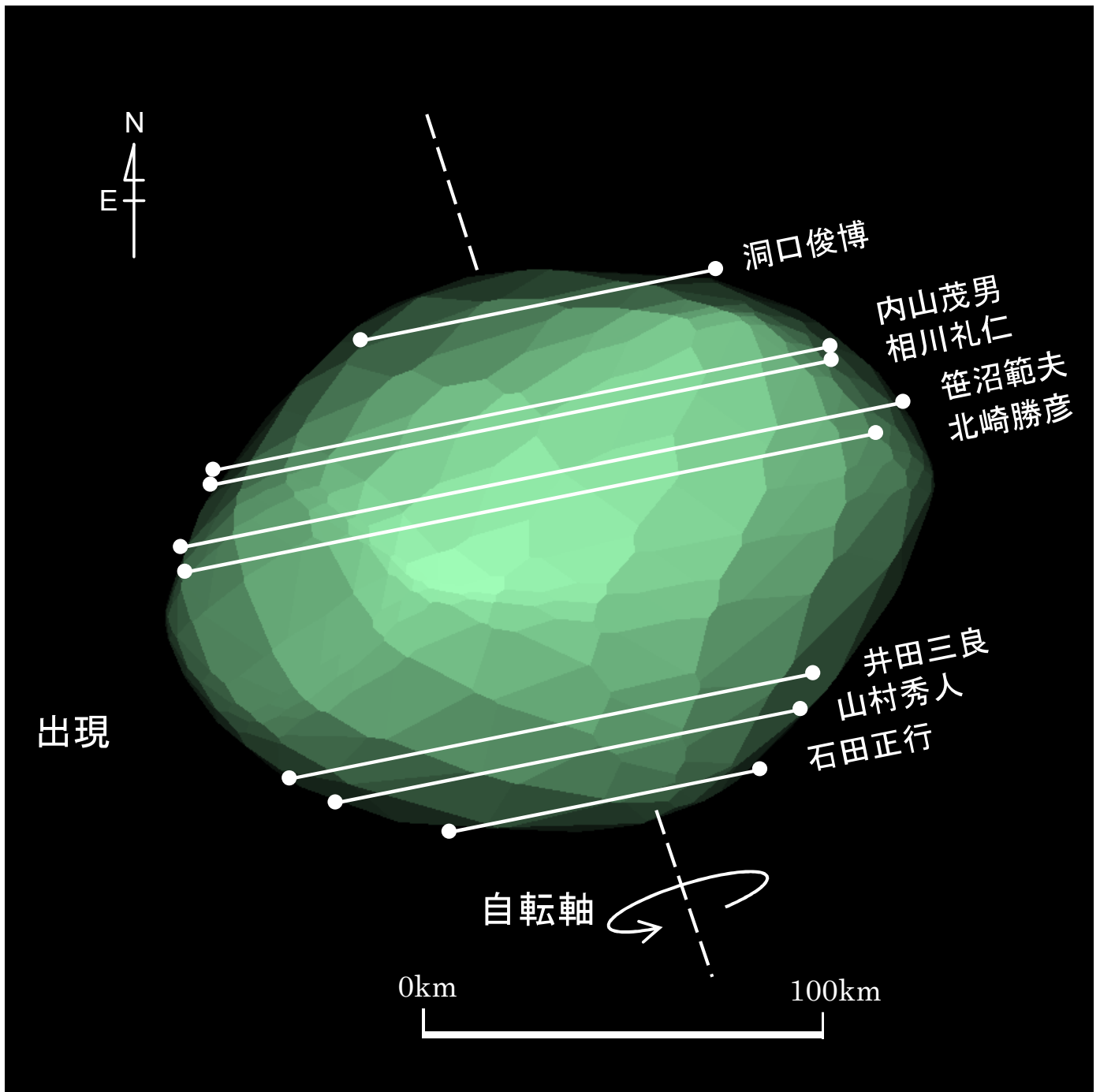
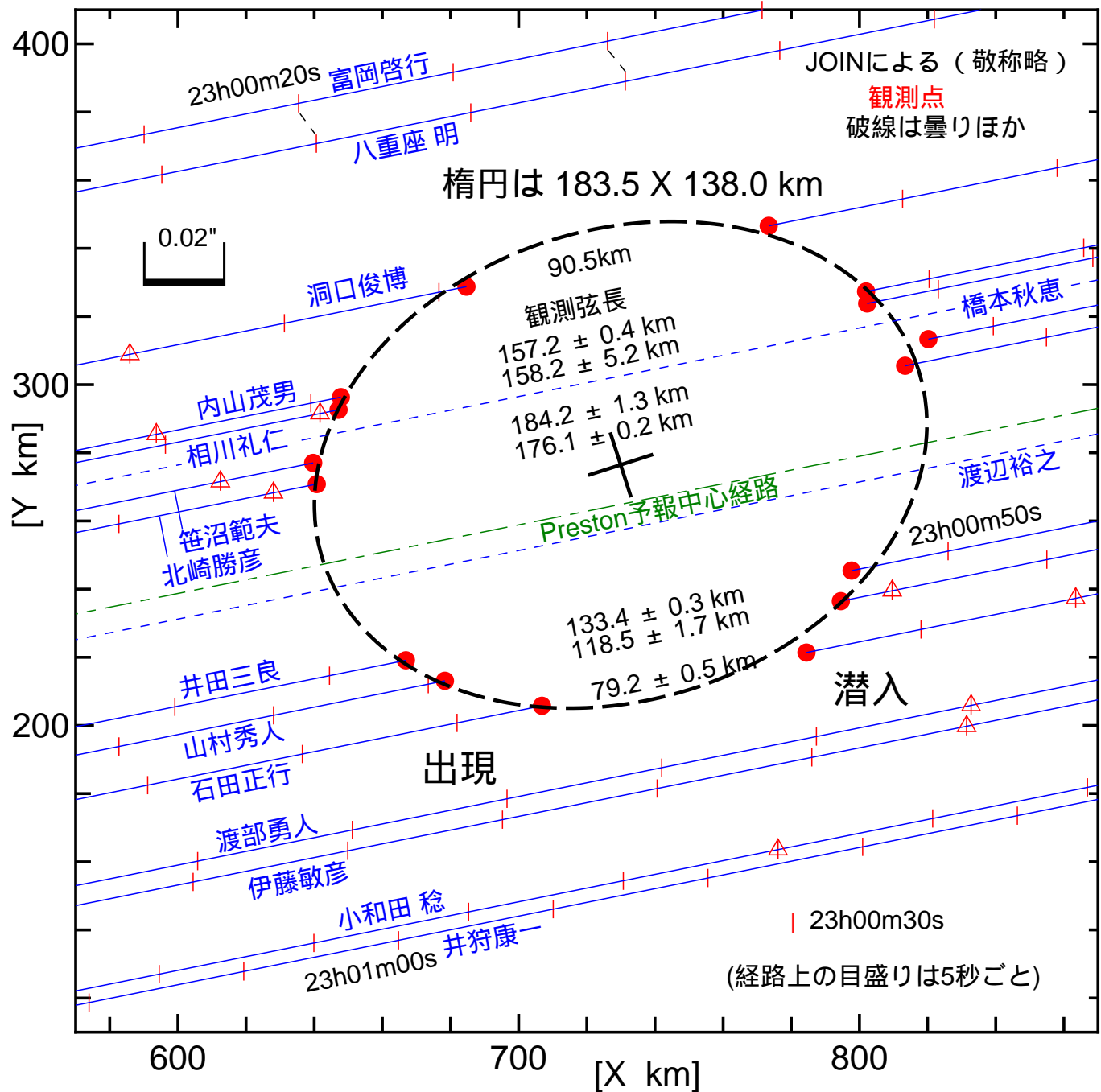


図5 (59) Elpis 2018年1月1日 14h00m25s UT DAMIT Model 6156 ($\lambda = 300$ 、 $\beta = -55$)
 $P = 198^\circ$ 、 $\beta_e = +13^\circ$ 、 $\lambda_e = +52^\circ$ 、Scale Factor 1: 138.3、 $k = 0.992$ 、 $B = 237.0^\circ$

(59) Elpis (2018年1月1日) の食 観測結果

(時刻はJ.S.T)



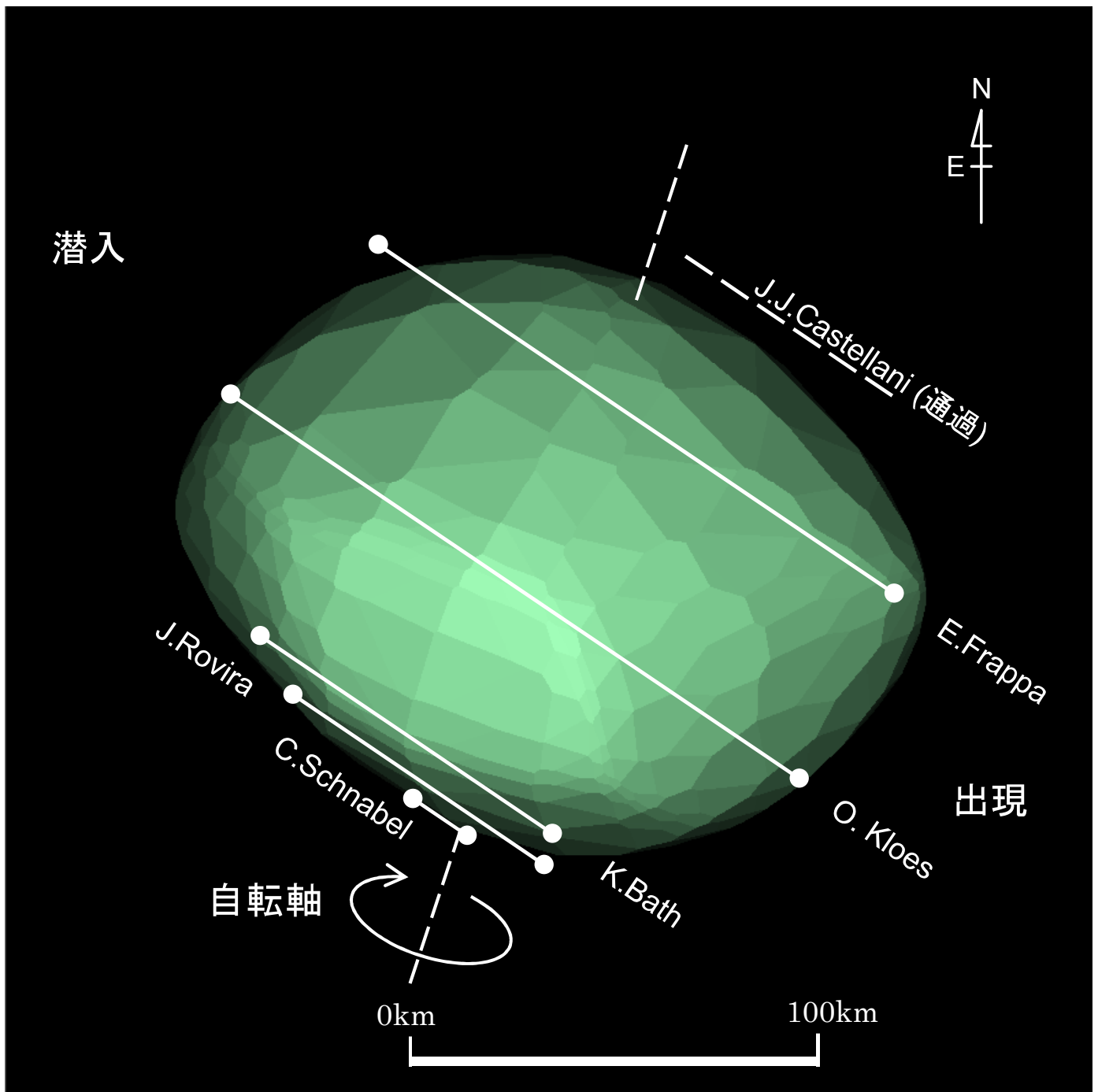


図6 (59) Elpis 2020年4月4日 03h14m39s UT DAMIT Model 6156 ($\lambda = 300$ 、 $\beta = -55$)
 $P = 162^\circ$ 、 $\beta_e = -19^\circ$ 、 $\lambda_e = -344^\circ$ 、Scale Factor 1: 135.4、 $k = 0.973$ 、 $B = 88.5^\circ$

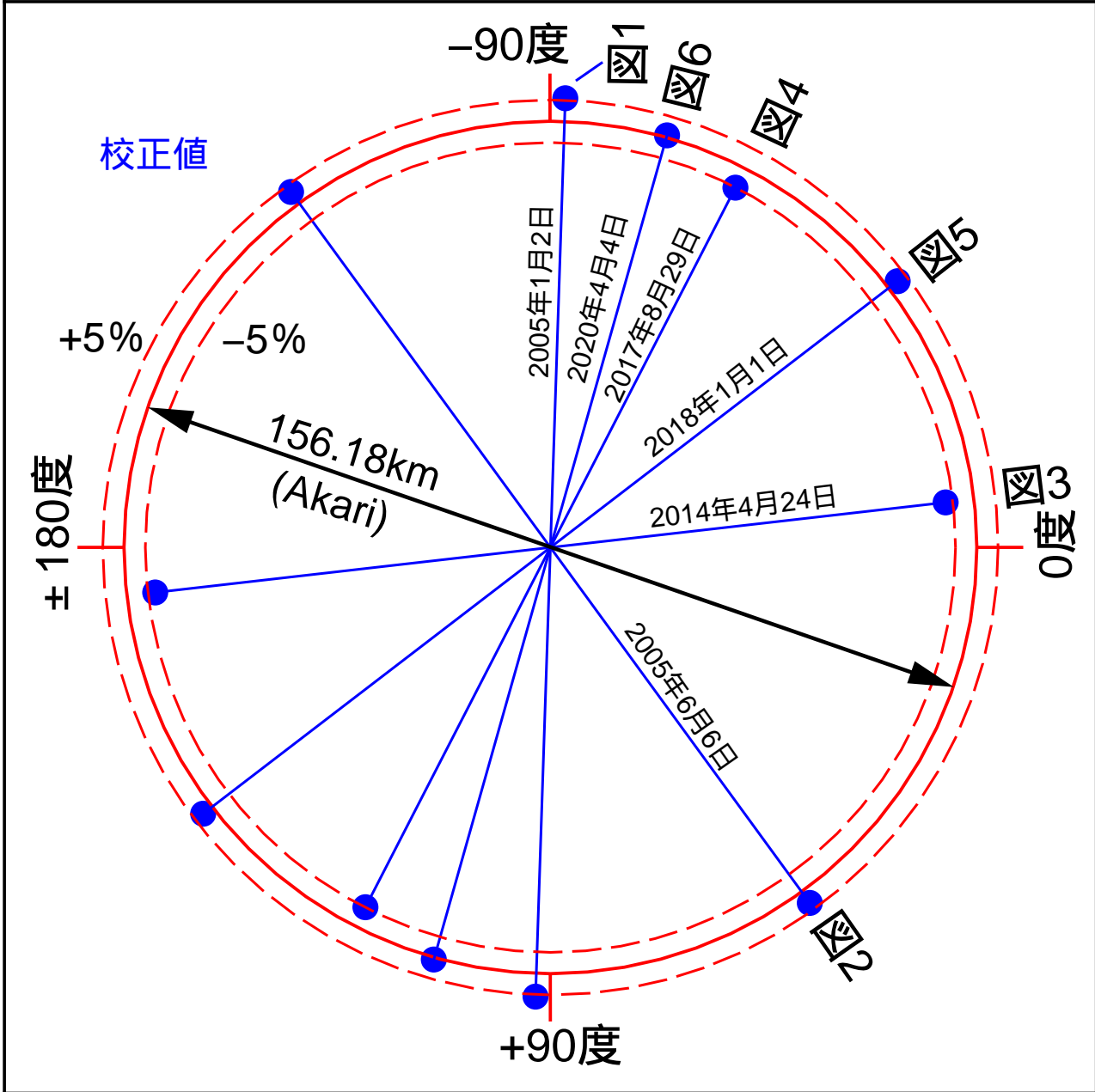


図7 北極側からみた観測の向きによる校正値のバラツキ

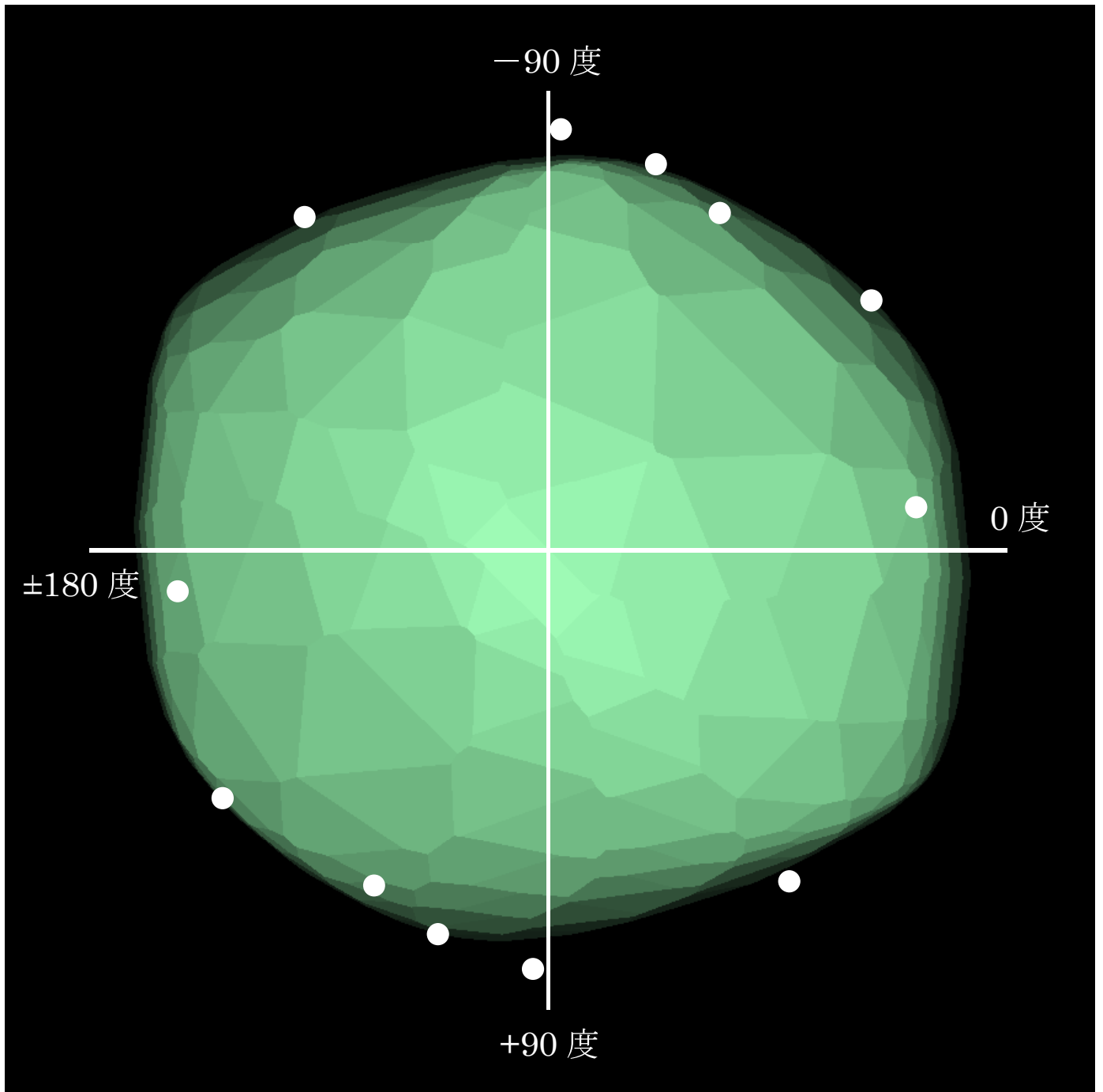


図8 北側から見た(59)Elpis モデルと校正値(図中の数値は経度)

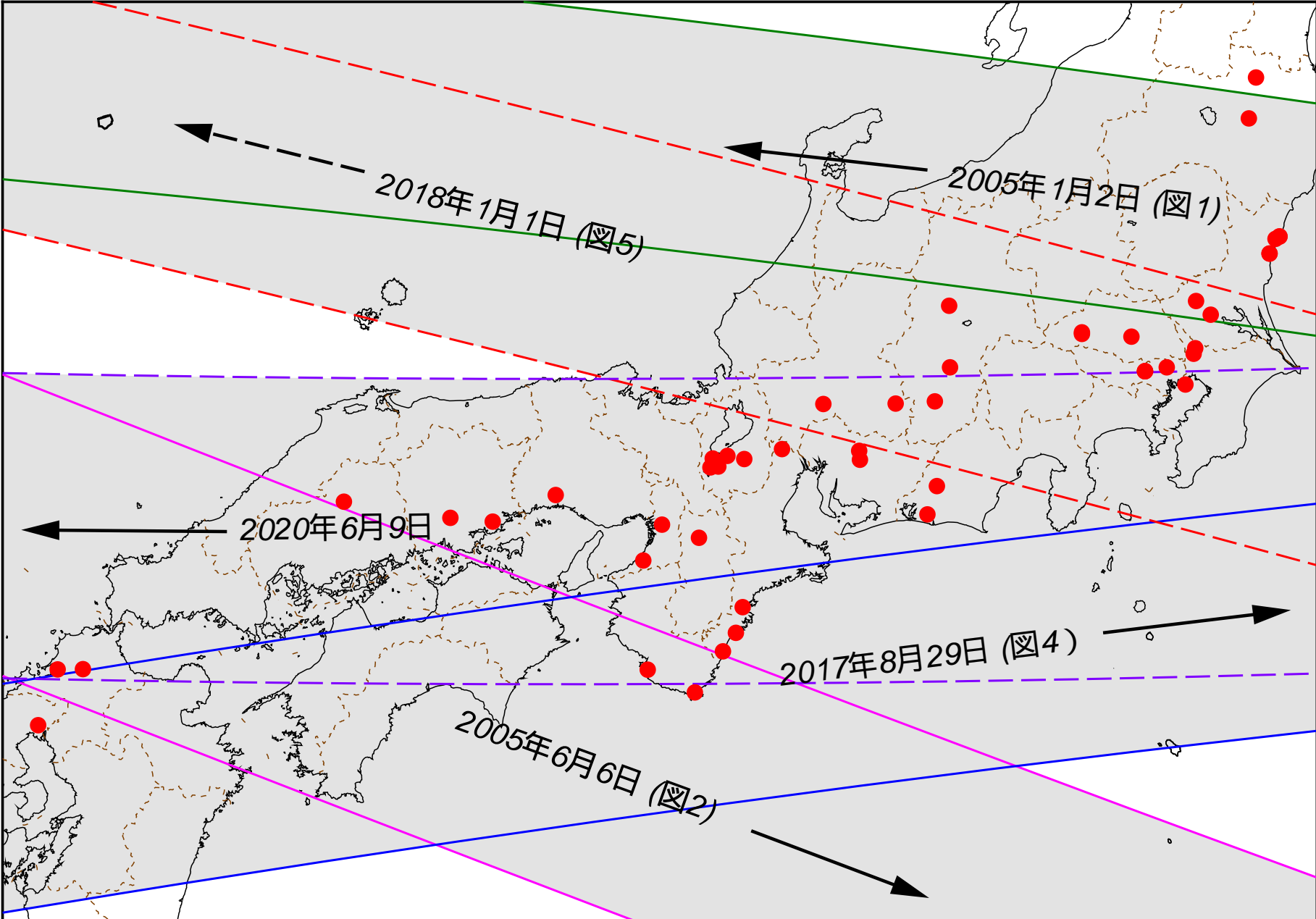


図9 国内3ヶ所以上で観測された(59)Elpisの掩蔽帯と観測地(通過・曇り等含む)

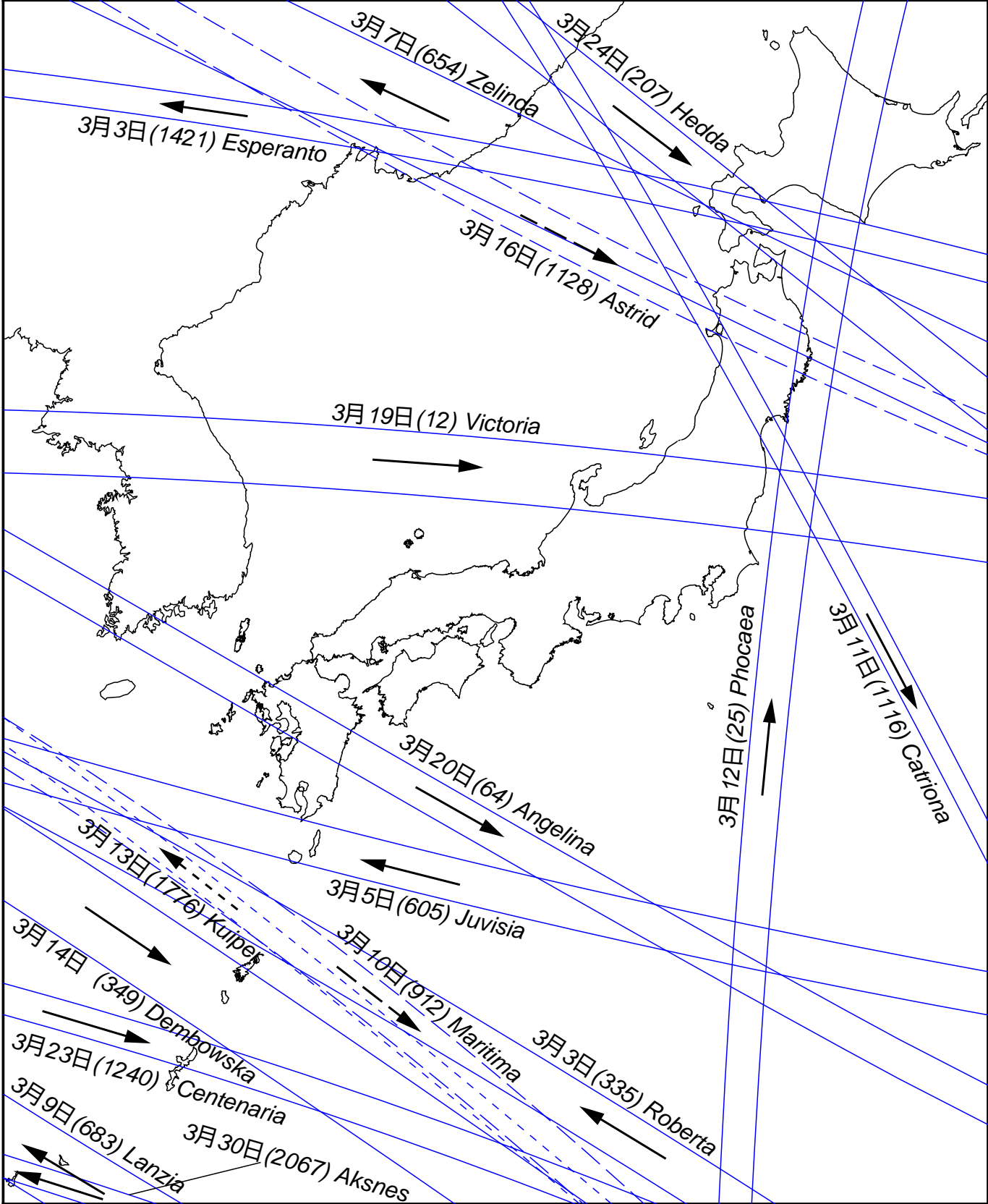


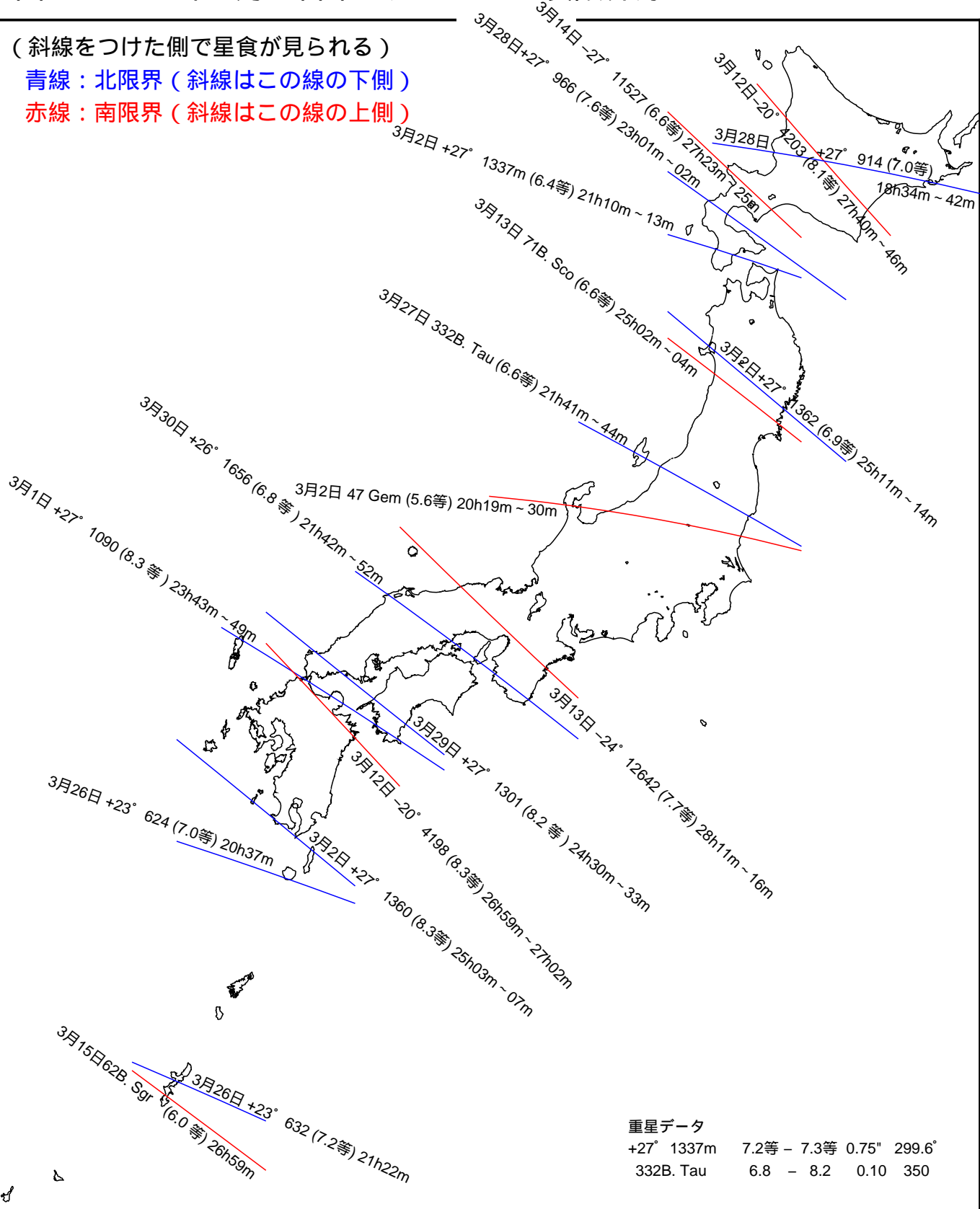
図10 小惑星による主な掩蔽帯経路 (S.Preston初期予報) 2023年3月
 矢印は影の移動方向を示す

図11 2023年 3月 日本を通る主な星食限界線

(斜線をつけた側で星食が見られる)

青線：北限界 (斜線はこの線の下側)

赤線：南限界 (斜線はこの線の上側)



重星データ

+27° 1337m	7.2等 - 7.3等	0.75"	299.6°
332B. Tau	6.8 - 8.2	0.10	350